

Physique Numérique – Semaine 2

Rappel des concepts introduits en semaine 1

$$\frac{dy}{dt} = f(y, t), \text{ avec condition initiale } y(0) = y_0$$

- Discrétisation: Eqs différentielles \rightarrow Eqs algébriques \rightarrow opérations arithmétiques
 - Erreurs: troncature et arrondi
 - Convergence: limite $\Delta t \rightarrow 0$ (erreur) = 0 (*)
 - Ordre de convergence: n tel que limite $\Delta t \rightarrow 0$ (erreur) $\sim O(\Delta t)^n$ (**)
 - Stabilité
 - Comportement en fonction du temps: erreur $\sim e^{\gamma t}$
 - Différences finies (**)
 - Pourquoi centrer les schémas?
 - Explicite / Implicite / Semi-implicite
- (*) *Les erreurs d'arrondi de convergent PAS! On parle d'ordre de convergence uniquement pour les erreurs de troncature.*
- (**) *suppose des fonctions f et y infiniment différentiables*

Documentation

- Lecture pour la Semaine #2: Notes de cours
 - Chapitre 2, Section 2.4, section 2.7.1

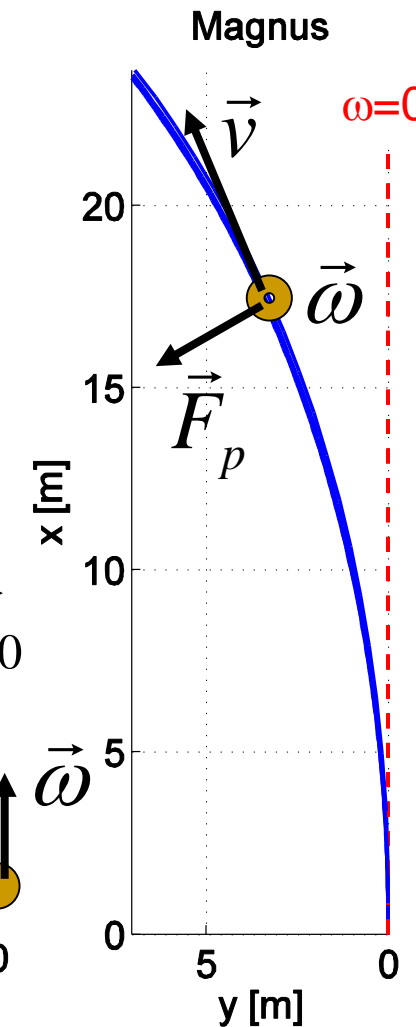
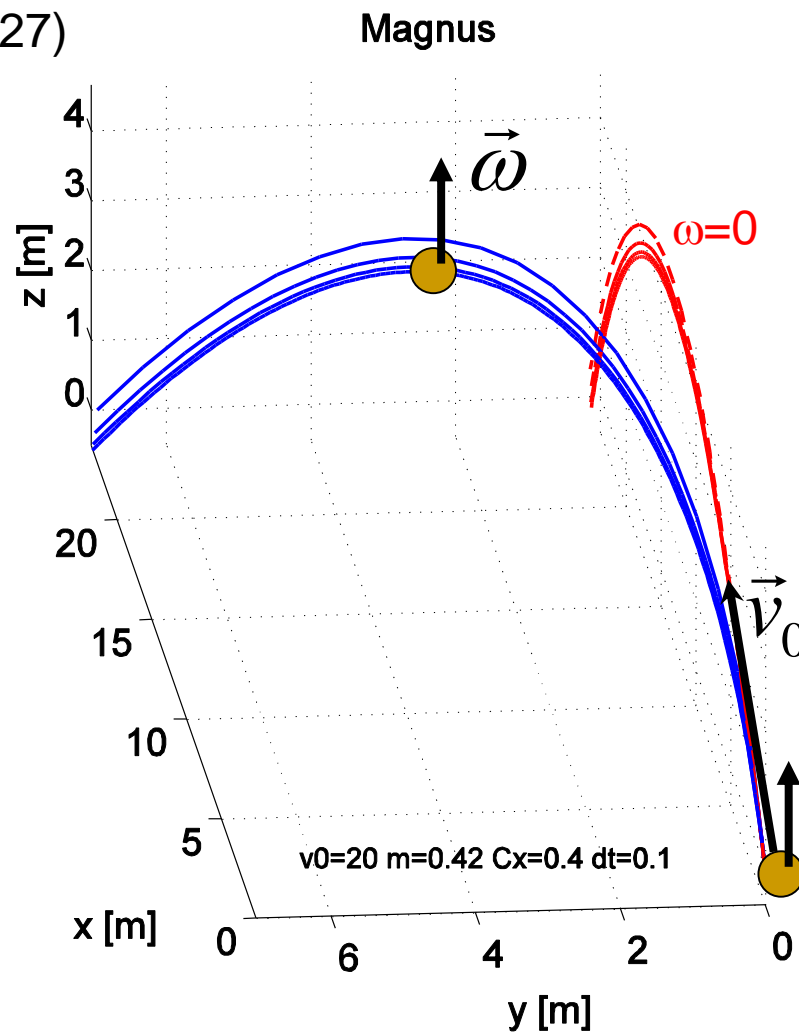
<http://moodle.epfl.ch/mod/resource/view.php?id=8220>

Plan Semaine 2

- Analyse de stabilité de Von Neuman pour l'équation de la désintégration
- Oscillateur harmonique, schéma d'Euler explicite
 - Analyse de stabilité de Von Neuman
 - Solution analytique des équations discrétisées
 - Evolution temporelle de l'énergie mécanique
- Schéma Euler-Cromer (ou Euler symplectique): apprenons à marcher...

Magnus tire un coup franc au football

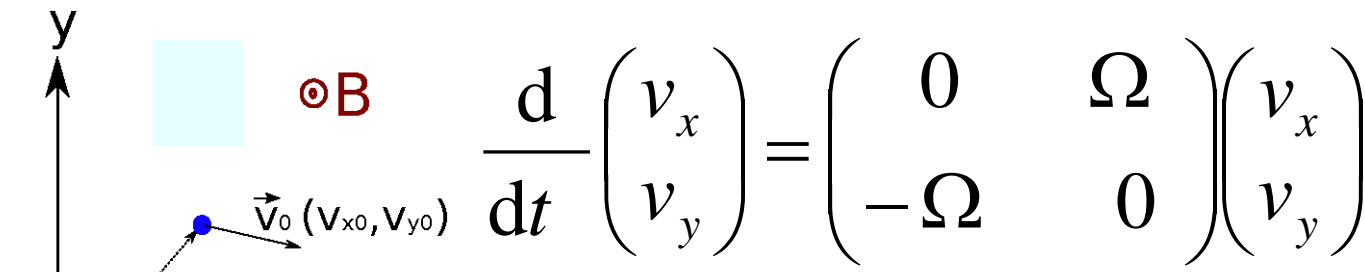
Eq.(2.27)



$R=0.11$
 $m=0.42$
 $C_x=0.4$
 $v_0=20$
 $\alpha=30^\circ$
 $\rho=1.3$
 $\mu=2\pi$
 $\omega=4\pi$
 $\gamma=0$
 $\Delta t=0.1, 0.0125$

Oscillateur harmonique, particule dans champ B, effet Magnus: même structure mathématique

$$\frac{d}{dt} \begin{pmatrix} x \\ v \end{pmatrix} = \begin{pmatrix} 0 & 1 \\ -\omega_0^2 & 0 \end{pmatrix} \begin{pmatrix} x \\ v \end{pmatrix} \quad \omega_0 = \sqrt{\frac{k}{m}}$$



■ Lorentz: $\vec{F} = q\vec{v} \times \vec{B}$ $\Omega = \frac{qB}{m}$

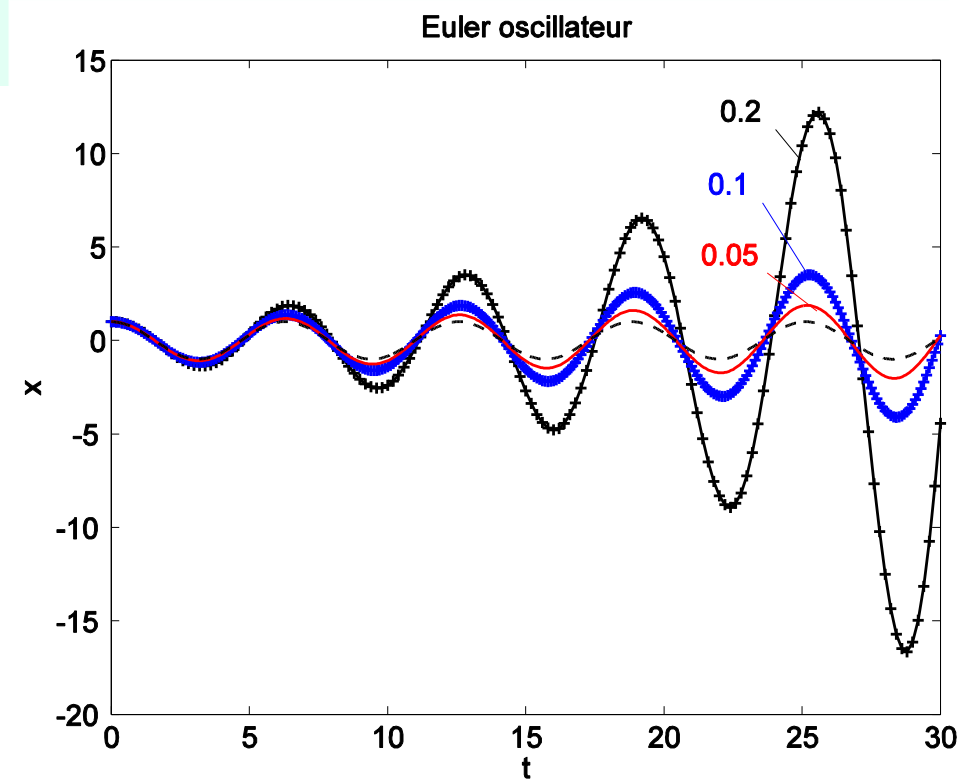
■ Effet Magnus: $\vec{F} = -\mu R^3 \rho \vec{v} \times \vec{\omega}$ $\Omega = -\frac{\mu R^3 \rho \omega}{m}$

2.4 Euler explicite et oscillateur harmonique instabilité

$$\frac{d}{dt} \begin{pmatrix} x \\ v \end{pmatrix} = \begin{pmatrix} v \\ -(k/m)x \end{pmatrix}$$

Solution analytique:

$$y(t) = |A| \cos\left(\sqrt{\frac{k}{m}} t + \varphi\right)$$

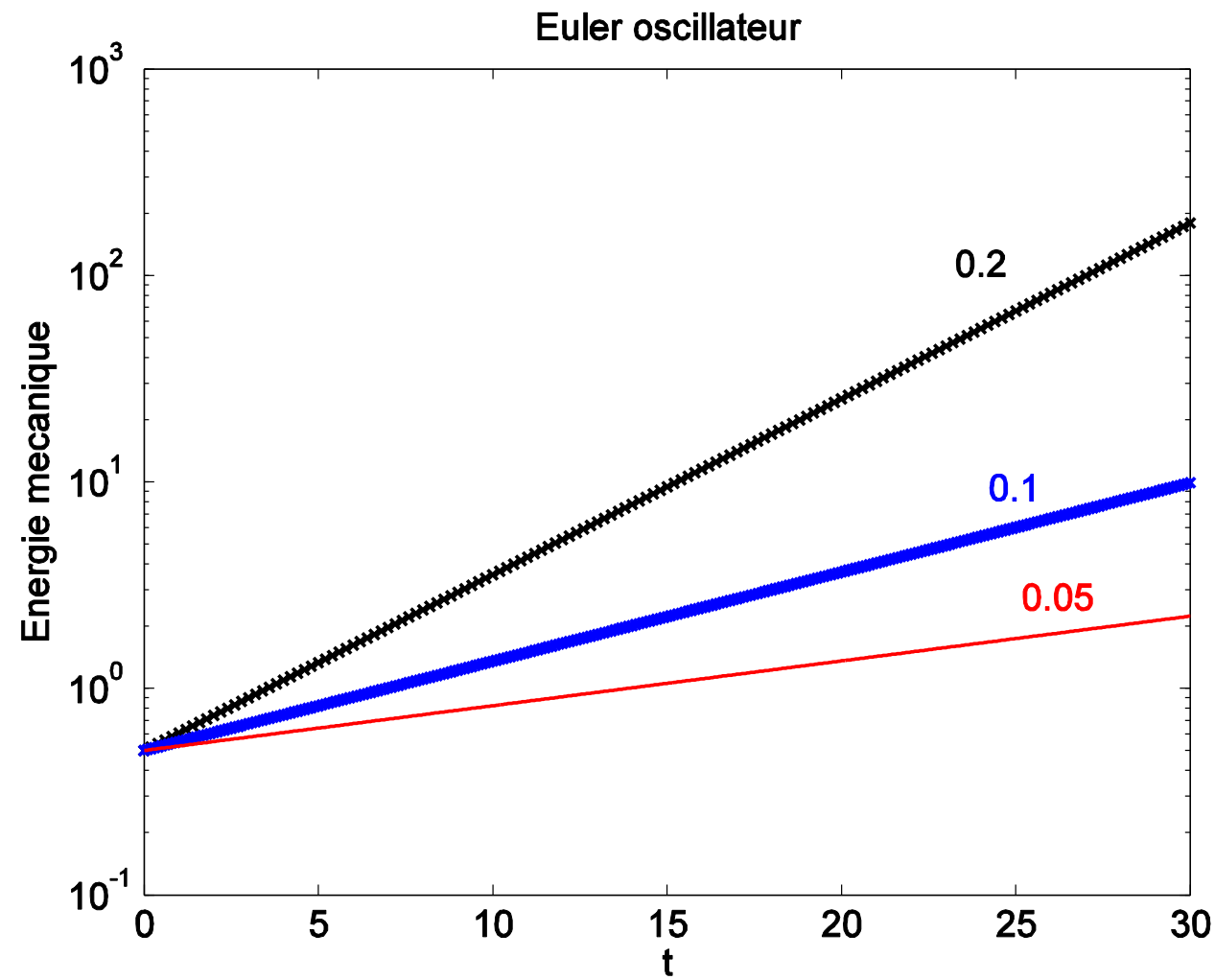


- Le schéma d'Euler explicite est ***toujours instable*** lorsqu'il est appliqué à l'oscillateur harmonique. La norme de l'erreur augmente à chaque pas de temps
- L'amplitude des oscillations croît exponentiellement, avec un taux de croissance proportionnel à Δt

Oscillateur harmo. Euler explicite. Conservation E_{mec} ?

L'énergie mécanique, au lieu d'être conservée, croît exponentiellement dans le temps.

Le taux de croissance de E_{mec} est proportionnel à Δt .



Simulation de Systèmes Oscillatoires

■ 2.4 Oscillations

- 2.4.1 Oscillateur harmonique. Instabilité du schéma d'Euler
- 2.4.2-2.4.4 **Analyses de stabilité numérique**

Propagation de l'erreur e_n

Oscillation, (dé)croissance?

Propriétés de conservation

Matrice de gain G

$$y_{num} = Ae^{i\omega t}$$

$$E_{mec} = const$$

Valeurs propres λ_i

$$\omega = \omega_r + i\gamma$$

oscillant exponentiel

$$E_{mec,n+1} = E_{mec,n} + ??$$

Stable si

$$|\lambda_i| \leq 1$$

$$\gamma \geq 0$$

$$\frac{\Delta E_{mec}^{(num)}}{\Delta t} \leq 0$$

Section 2.3.2 – Von Neumann

Section 2.3.3

Section 2.3.4

2.4.2. Analyse de stabilité de Von Neumann

- Sera présentée au tableau
- Voir aussi les Notes de Cours

2.4.3 Stabilité. Oscillations, (dé)croissance exponentielle. Sol. Analytique des Eqs. Discrètes.

$$y_n = \Re e\{A e^{i\omega t_n}\} = \Re e\{A e^{i\sqrt{k/m} t_n} e^{\left(\frac{k \Delta t}{m/2}\right) t_n}\}$$

$$y_n = e^{\left(\frac{k \Delta t}{m/2}\right) t_n} |A| \cos\left(\sqrt{\frac{k}{m}} t_n + \varphi\right)$$

Amplitude augmentant exponentiellement dans le temps

Taux de croissance proportionnel à Δt

Oscillation sinusoidale

En accord avec nos résultats numériques

2.4.4 Euler expl. osc. harmo. Conservation E_{mec} 1

Analytiquement: $E_{mec} = \frac{1}{2}mv^2 + \frac{1}{2}kx^2 = const$

Numériquement:
$$\begin{aligned} E_{mec,n+1} &= \frac{1}{2}mv_{n+1}^2 + \frac{1}{2}kx_{n+1}^2 \\ &= \frac{1}{2}m\left(v_n - \frac{k}{m}x_n\Delta t\right)^2 + \frac{1}{2}k(x_n + v_n\Delta t)^2 \\ &= \frac{1}{2}mv_n^2 + \frac{1}{2}kx_n^2 - v_n k x_n \Delta t + k x_n v_n \Delta t + \frac{1}{2} \frac{k^2}{m} x_n^2 \Delta t^2 + \frac{1}{2} k v_n^2 \Delta t^2 \end{aligned}$$

$$E_{mec,n+1} = E_{mec,n} + \left(\frac{k}{m} E_{mec,n} \Delta t \right) \Delta t \quad (*)$$

$$E_{mec,n+1} > E_{mec,n} \quad \forall \Delta t$$

L'énergie mécanique
augmente à chaque
pas de temps

2.4.4 Euler expl. osc. harmo. Conservation E_{mec} 2

$$\frac{\Delta E_{mec,n}}{\Delta t} = \left(\frac{k}{m} \Delta t \right) E_{mec,n}$$

$$E_{mec,n} = E_{mec,0} e^{\left(\frac{k}{m} \Delta t \right) t_n}$$

$$\gamma_{Emec} = \frac{k}{m} \Delta t$$

**L'énergie mécanique
augmente
exponentiellement au
cours du temps**

**Le taux de croissance
est proportionnel à Δt**

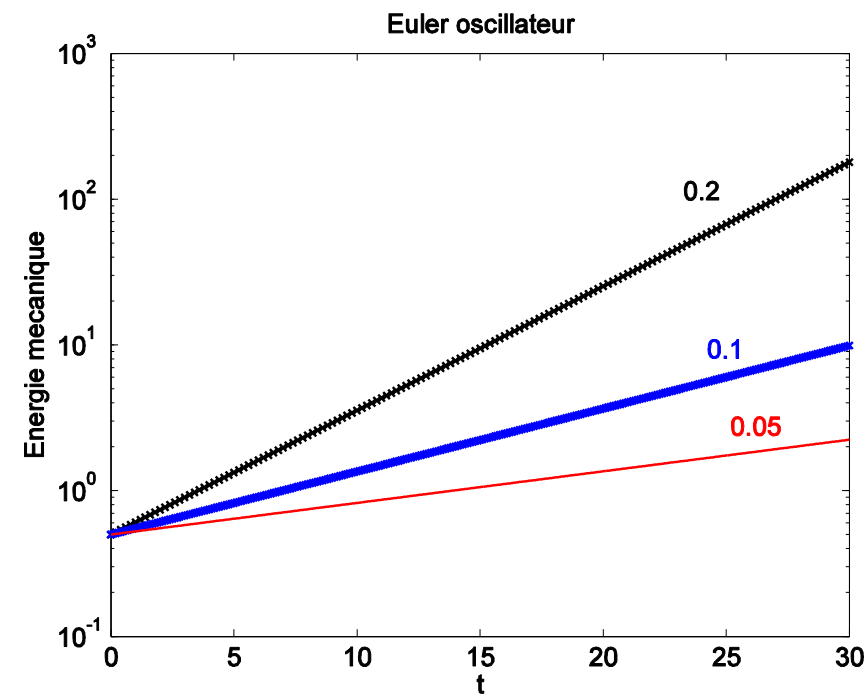


FIG. 2.8 (bas)

On trouvait un taux de croissance du mode propre

$$\gamma = \text{Im}(\omega) = -\frac{k}{m} \frac{\Delta t}{2}$$

$$\gamma_{Emec} = -2\gamma$$

???

2.4. Oscillateur harmonique. Conclusions

- Le schéma d'Euler explicite est toujours instable lorsqu'il est appliqué à l'oscillateur harmonique. La norme de l'erreur augmente à chaque pas de temps
- L'amplitude des oscillations croît exponentiellement, avec un taux de croissance proportionnel à Δt
- L'énergie mécanique n'est pas conservée, mais croît exponentiellement, avec un taux de croissance proportionnel à Δt
- Paramètre numérique crucial: $\omega\Delta t$
 - $\omega\Delta t \ll 1$ veut dire plusieurs pas temporels par période
- Amélioration des schémas numériques nécessaire!
 - Euler – Cromer $\sim \Delta t$ (*)
 - Stormer-Verlet $\sim (\Delta t)^2$
 - Runge-Kutta ordre 4 $\sim (\Delta t)^4$
 - Augmenter l'ordre du schéma augmente la précision
- (*) changement apparemment minime, mais... (demo)

2.7.1 Euler-Cromer: déjà un grand progrès!

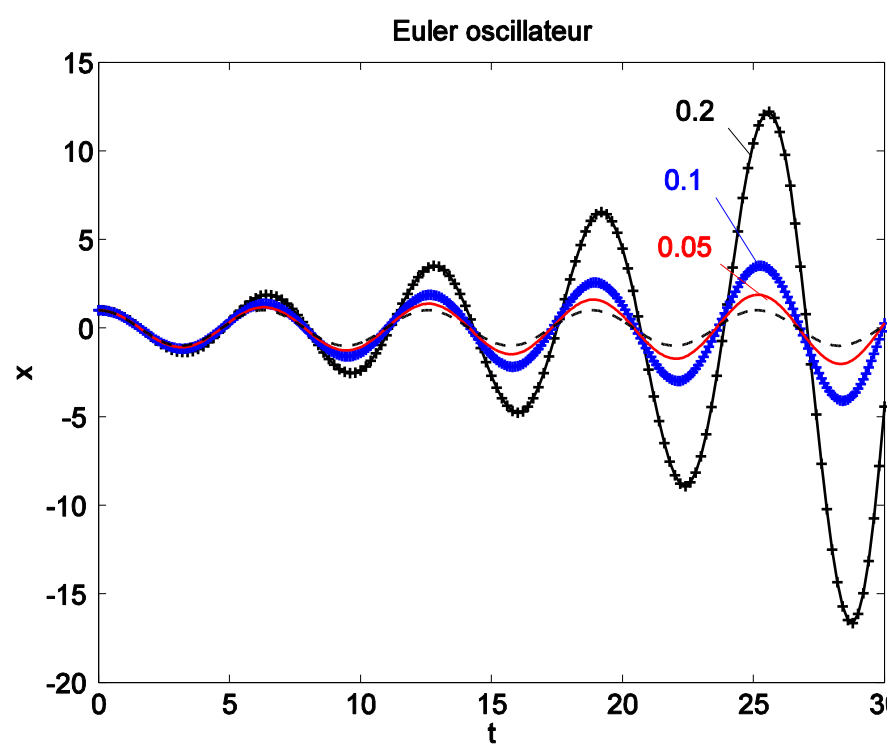


FIG. 2.8

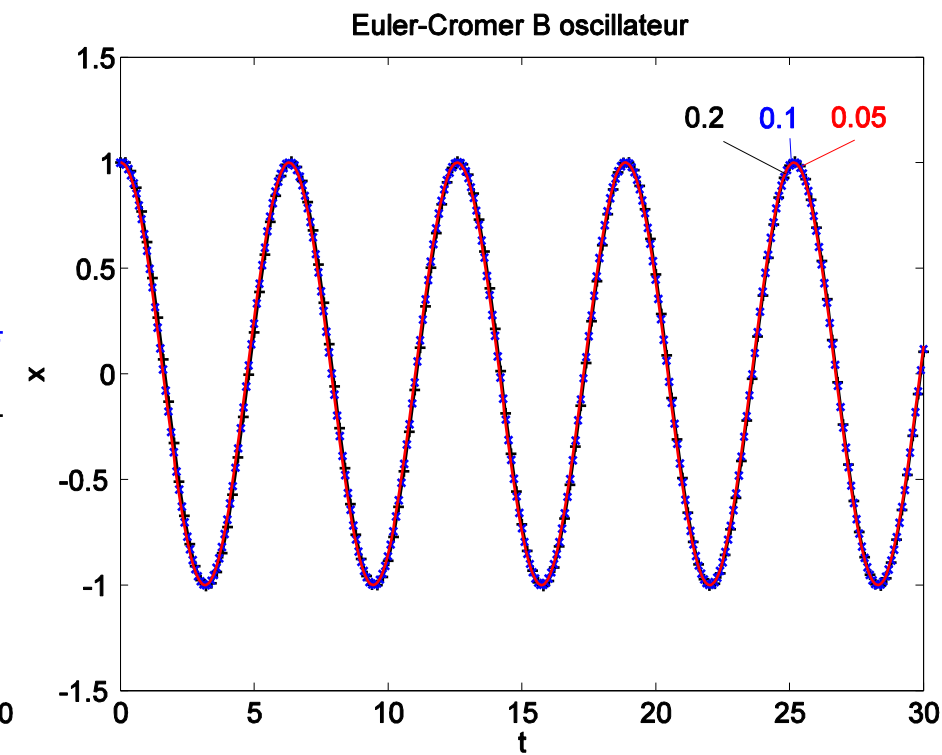


FIG. 2.9

- Les schémas d'Euler-Cromer et de Verlet seront présentés au tableau et seront illustrés par des simulations numériques.

2.7.1 Euler-Cromer («symplectique»)

- Pour la force de portance de Magnus, comme pour la force de Lorentz due au champ magnétique, l'accélération en x dépend de v_z , et l'accélération en z dépend de v_x .
- Le schéma d'Euler-Cromer, s'écrit, pour la particule dans un champ magnétique selon z .

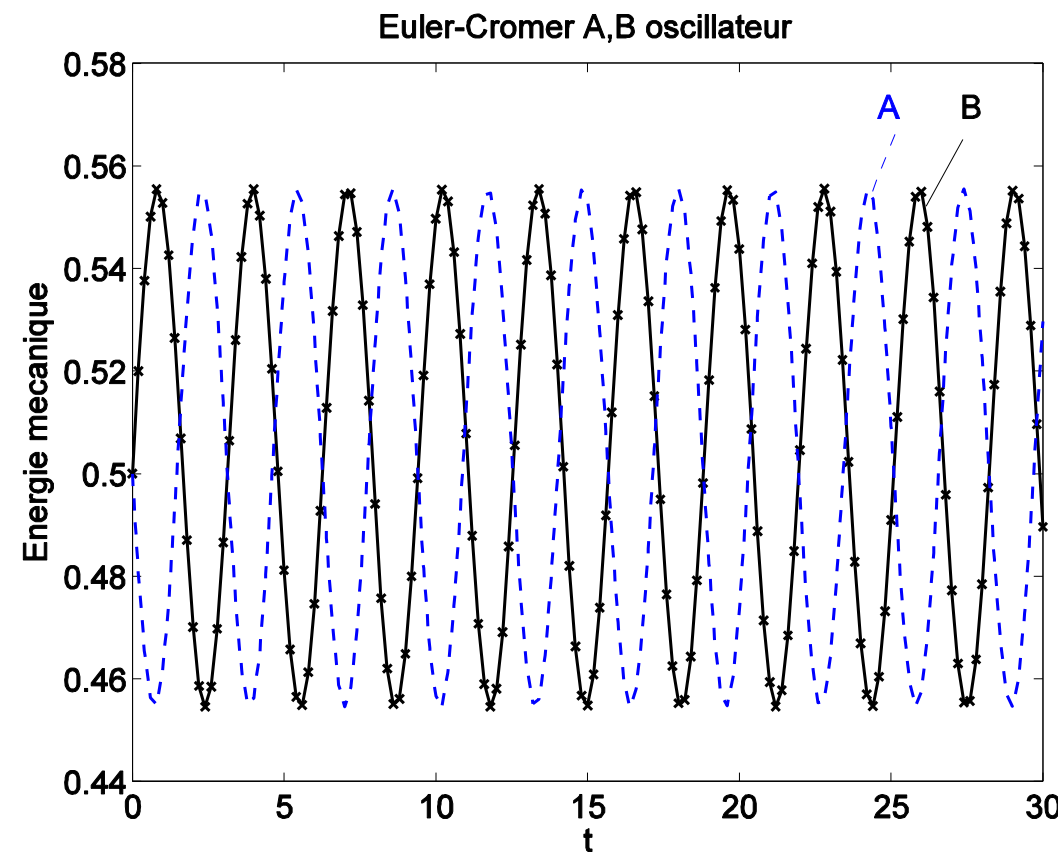
$$v_{x,n+1} = v_{x,n} + \Omega v_{y,n}$$

$$v_{y,n+1} = v_{y,n} - \Omega v_{x,n+1}$$

Euler explicite: $v_{x,n}$

- Vous pouvez essayer ce schéma pour le problème de Magnus (Ex.1)

2.7.1 Euler-Cromer: pied gauche ou pied droite d'abord?



- En combinant Euler-Cromer « A » et « B » pour deux demi-pas de temps, on aboutit au schéma de Verlet. La dérivation sera présentée au tableau.